

Definicije propagacijskih parametrov

- Propagacijski pojavi
- Faza kot ključni parameter pri pojavih širjenja
- Komunikacijske enačbe
- Fresnelove cone: pasovi, kolobarji, elipsoidi
- LOS, NLOS
- Modeli upadanja v primerih NLOS
- Urbano okolje in notranji prostori

Mobitel d.d. – izobraževanje 9.3.2009, predavanje 8

Prof. dr. Jožko Budin

Pojavi in mehanizmi širjenja vala v realnem prostoru

1. Vpoj (absorpcija):

- neresonančna
- resonančna

2. Odboj (refleksija):

- zrcalen (spekularen)
- razpršen (difuzni)
- notranji, totalni

3. Lom (refrakcija):

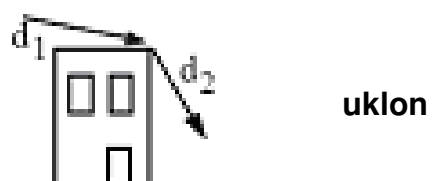
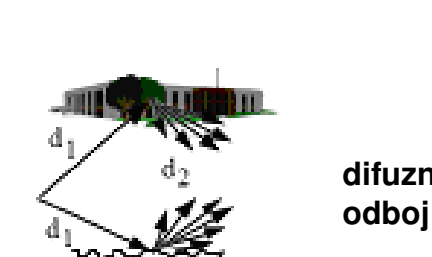
- diskreten
- zvezeni

4. Uklon (difrakcija):

- klinasta ovira
- obla ovira
- večkratna ovira

5. Interferenca:

- konstruktivna
- destruktivna
- večstezna (multipath)



6. Razprševanje:

- Rayleigh ($L < \lambda$) sisanje
- Mie ($L = \lambda$)
- optično ($L > \lambda$)

7. Valovodno širjenje:

- hodnik, ulica
- snovni valovod

8. Presih (fading):

- Rayleigh
- Rice
- Nakagami

9. Polarizacija:

- neusklenost
- depolarizacija

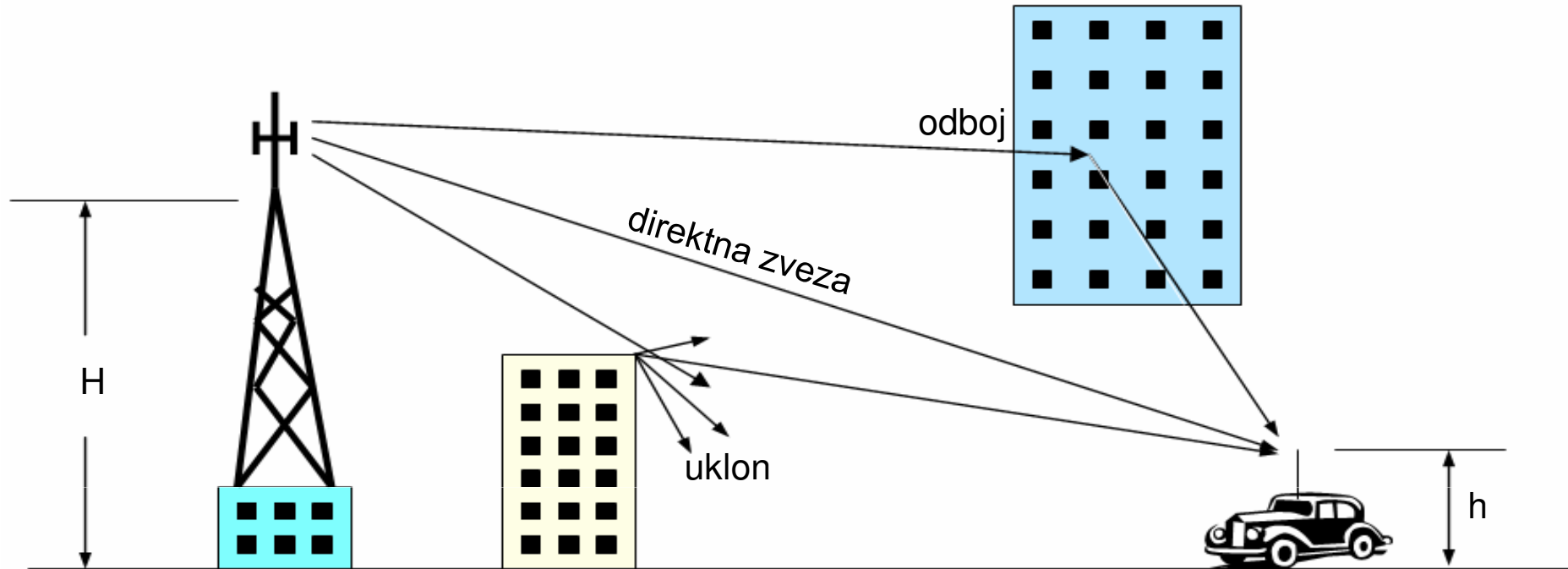
10. Kakovost signala:

- razpršitev zakasnitve (disperzija)
- Dopplerjev premik

Princip stacionarne faze

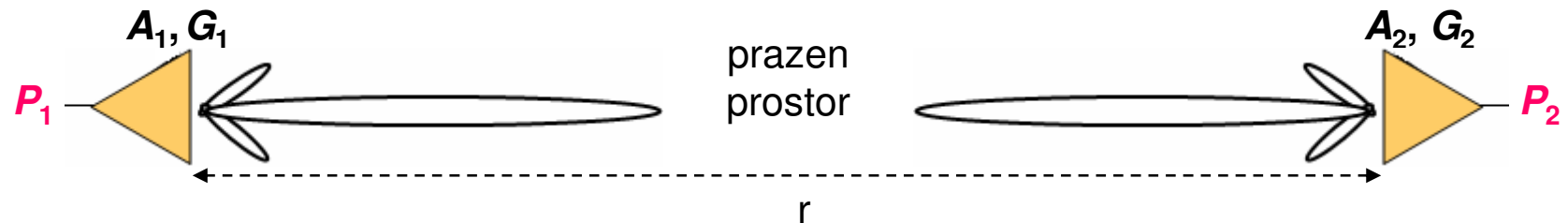
- Princip stacionarne faze daje podlago za visokofrekvenčni (optični) približek pri reševanju problemov propagacije.
- Princip stacionarne faze omogoča prehod z valovne optike na geometrijsko (žarkovno) optiko (metoda “ray tracing” in “ray launching”).
- Pri seštevanju prispevkov Huygensovih virov (integraciji po ploskvi) prispevajo bistveno k rezultatu območja v okolini točk stacionarne faze. Z odmikom od točke stacionarne faze se fazni pogoji za konstruktivno interferenco bistveno ne spremenijo.
- V svetlobnem polju, na primer, so v prenosnem sistemu (vir, lomno-odbojni medij, opazovalec) točke stacionarne faze tiste, katerih okolica vidno zablesti. Vse druge točke prostora so za širjenje med virom in opazovalcem manj pomembne ali nepomembne.
- Pri uklonu na ostri oviri so točke, ki so najbliže (zaslonjeni) točki stacionarne faze, porazdeljene na robu ovire. Le-ta deluje kot navidezni vir uklonjenega polja (rob vidno zablesti).
- Mnogi znani pojavi in principi so povezani s principom stacionarne faze (Fermatov princip, Snellov zakon, drugi).

Propagacija in sistemi radijskih omrežij



WRAN	WWAN	WMAN	WLAN	WPAN (WSAN)
IEEE 802.22	IEEE 802.20	IEEE 802.16	IEEE 802.11	IEEE 802.15
	MBWA	WiMAX LMDS/MMDS UMTS/LTE	Wi-Fi HiperLAN	Wi-Media Bluetooth UWB ZigBee/RFID

Širjenje v praznem prostoru – Friisova formula



1. Razmerje moči sprejem/oddaja

$$\frac{P_2}{P_1} = \frac{G_1 A_2}{4\pi r^2} = \frac{G_1 G_2 \lambda^2}{(4\pi r)^2}$$

$$\alpha_{\text{dB}} = 10 \log \frac{P_1}{P_2} = 32,45 + 20 \log r[\text{km}] + 20 \log f[\text{MHz}] - 10 \log G_1 - 10 \log G_2$$

2. Razmerje moči signal/šum

$$\frac{S}{N} = \frac{P_2}{N_2} = \frac{P_1 G_1 \lambda^2}{(4\pi r)^2} \frac{G_2}{kT_2 \Delta f}$$

3. Doseg radijske zveze

$$r_{\max} = \frac{\lambda}{4\pi} \sqrt{\frac{P_1 G_1 G_2}{(\text{SN})_{\min} k T_2 \Delta f}}$$

$\left(\frac{S}{N}\right)_{\min}$ minimalno zahtevano razmerje signal/šum

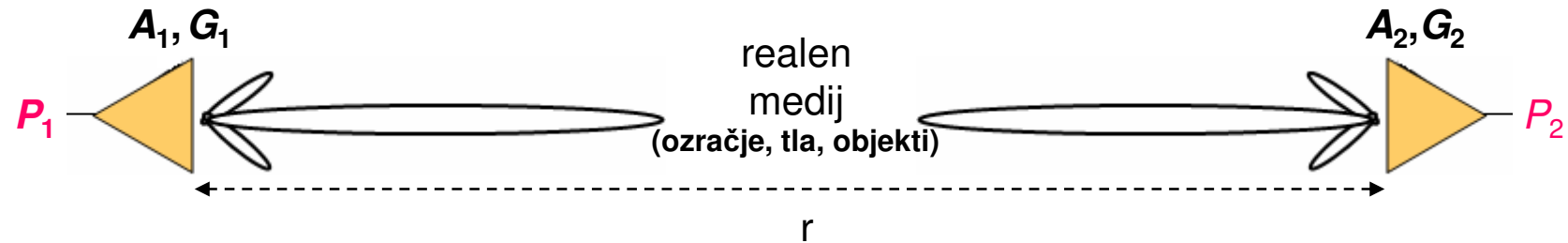
Osnovno slabljenje

Slabljenje med dvema izotropnima antenama:

$$\alpha_{dB} = 10 \log P_1/P_2 = \\ = 32,45 + 20 \log r_{km} + 20 \log f_{MHz}$$

Slabljenje na dolžini 1 km pri frekvenci 1 GHz znaša 92,45 dB.

Širjenje vala v realnem prostoru – komunikacijska enačba



$$\frac{P_2}{P_1} = \frac{G_1 G_2 \lambda^2}{(4\pi r)^2} L_1 L L_2$$

$$L_{dB} = 10 \log \frac{1}{L}$$

L_1 ... slabljenje na oddajni strani
 L ... dodatno slabljenje pri propagaciji v realnem prostoru
 L_2 ... slabljenje na sprejemni strani

L_1 :

- slabljenje kablov in priključnih elementov
- slabljenje zaradi impedančne neprilagojenosti

L :

- vpojno in razpršilno slabljenje v ozračju
- odbojno slabljenje
- uklonsko slabljenje
- razpršilno slabljenje

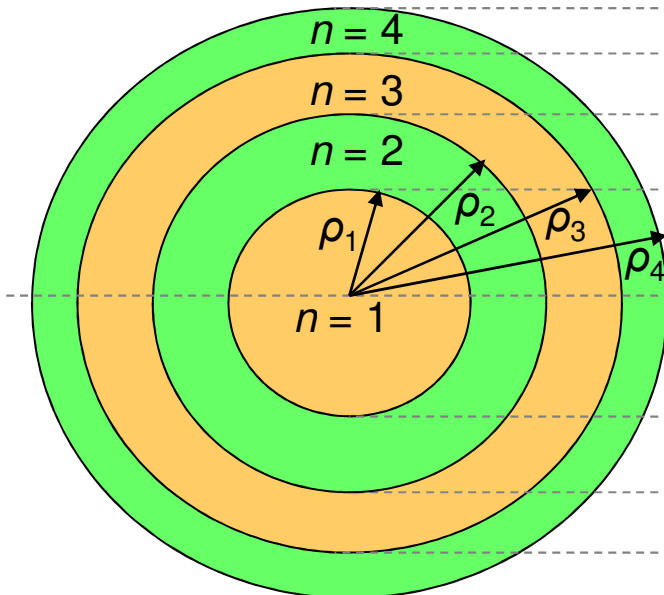
L_2 :

- slabljenje kablov in priključnih elementov
- slabljenje zaradi impedančne neprilagojenosti
- slabljenje zaradi polaracijske neuskajenosti

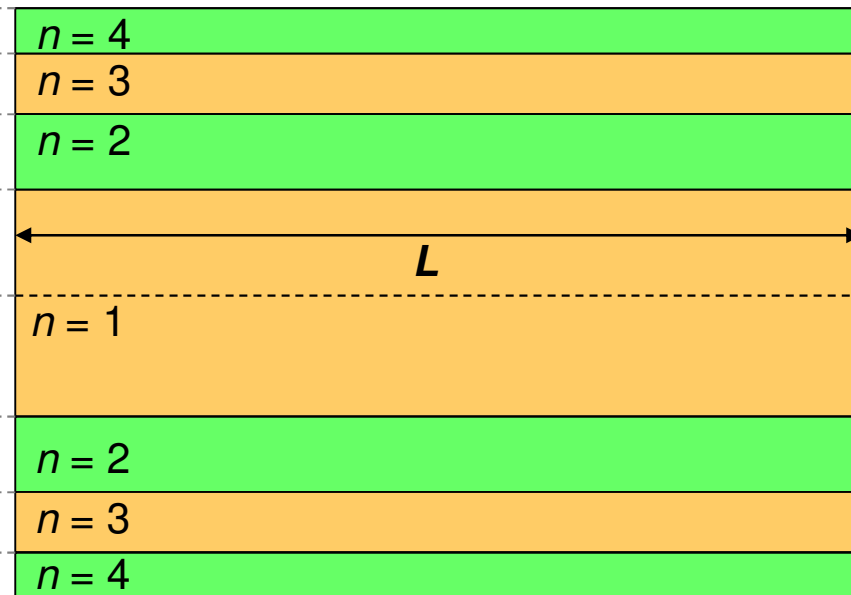
Fresnelove cone - geometrija

Območja v prostoru ali na ploskvi med oddajno in sprejemno anteno razmejujemo po faznem kriteriju glede na pomen, ki ga imajo za razširjanje vala. Najpomembnejša območja so v okolici točk stacionarne faze.

Fresnelovi kolobarji



Fresnelovi pasovi



Površina con:

$$A_n = (\rho_{n+1}^2 - \rho_n^2)\pi = \lambda\pi \frac{d_1 d_2}{d_1 + d_2}$$

je neodvisna od reda n cone, zato je konvergenca počasna

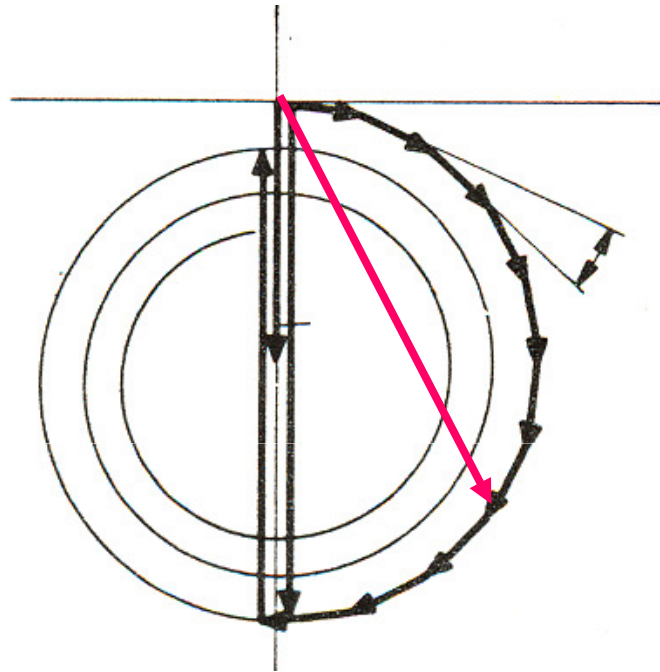
Površina con:

$$A_n = 2(\rho_{n+1} - \rho_n)L = 2L \sqrt{\frac{\lambda d_1 d_2}{d_1 + d_2}} (\sqrt{n+1} - \sqrt{n})$$

upada z rastočim redom cone, zato je konvergenca prispevkov hitrejša

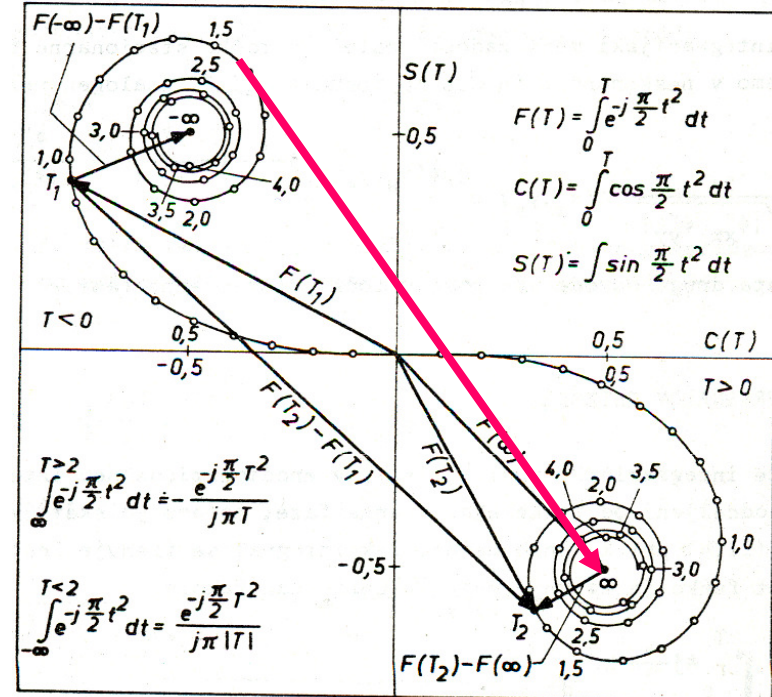
Fresnelove cone – obravnavava polja

Fresnelovi kolobarji



Z odkrivanjem kolobarjev polje močno oscilira in se počasi umirja proti vrednosti E_0 v neomejenem prostoru. Konvergenco omogočata rastoča razdalja in usmerjeno sevanje Huygensovih virov.

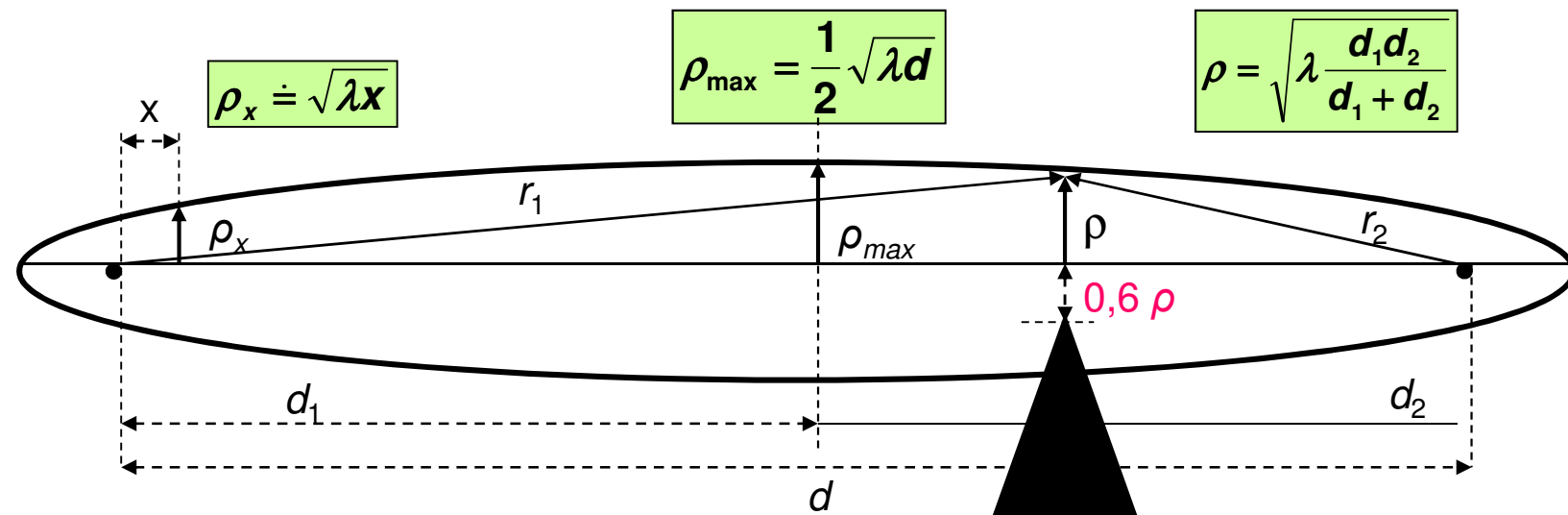
Fresnelovi pasovi



Z odkrivanjem pasov se oscilacije polja hitreje umirjajo proti vrednosti E_0 v neomejenem prostoru. Hitrejšo konvergenco omogoča upadanje površine Fresnelovih pasov višjega reda.

Fresnelov elipsoid in njegov pomen

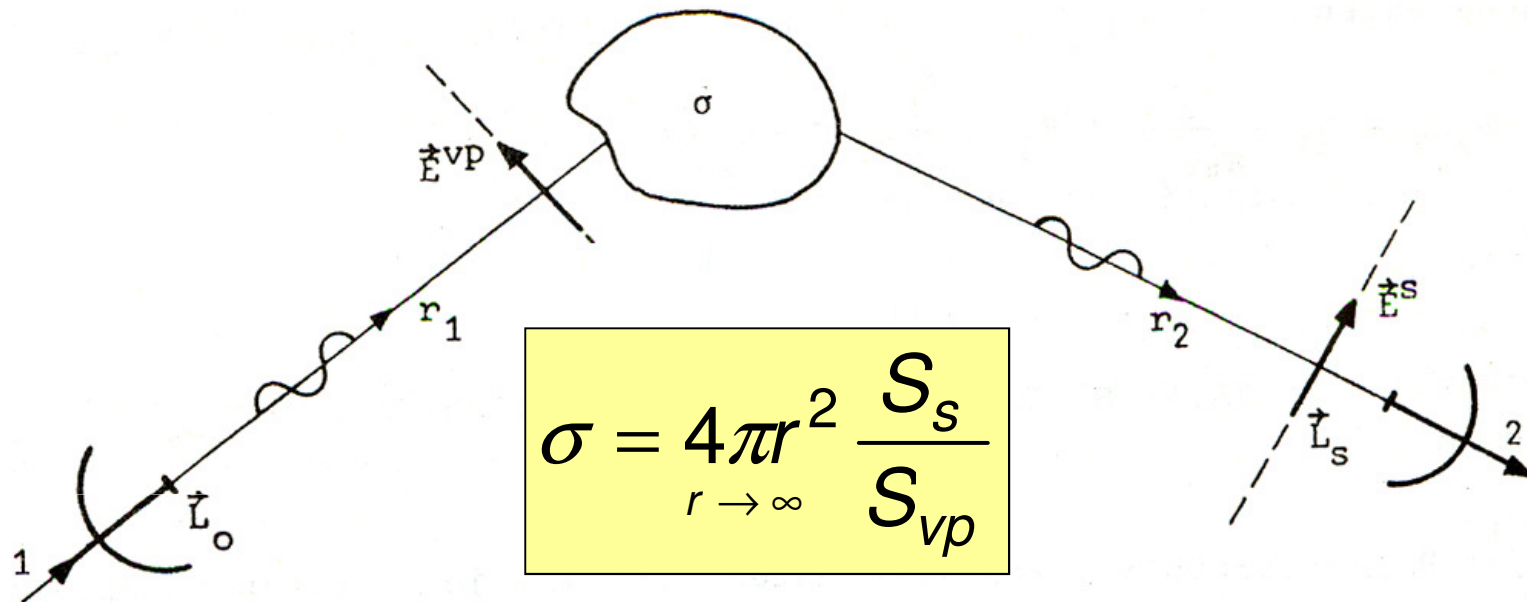
Prostor, iz katerega sprejemamo Huygensove valove pretežno so fazno (s fazno razliko 0 do π) je rotacijski elipsoid z goriščema v oddajni in sprejemni točki.



- Za praktično nezmanjšan sprejem sme koničasta ovira z ravnim robom segati v prostor 1. Fresnelove cone do največ $0,6 \rho$, kjer je ρ polmer prve cone na mestu ovire.
- Slabljenje, ki ga povzroča ovira (zaslon) površine $A \gg \lambda^2$ v središčnem delu 1. Fresnelove cone je v grobem približku

$$L = -10 \log \left(1 - \frac{A}{\rho^2 \pi} \right)$$

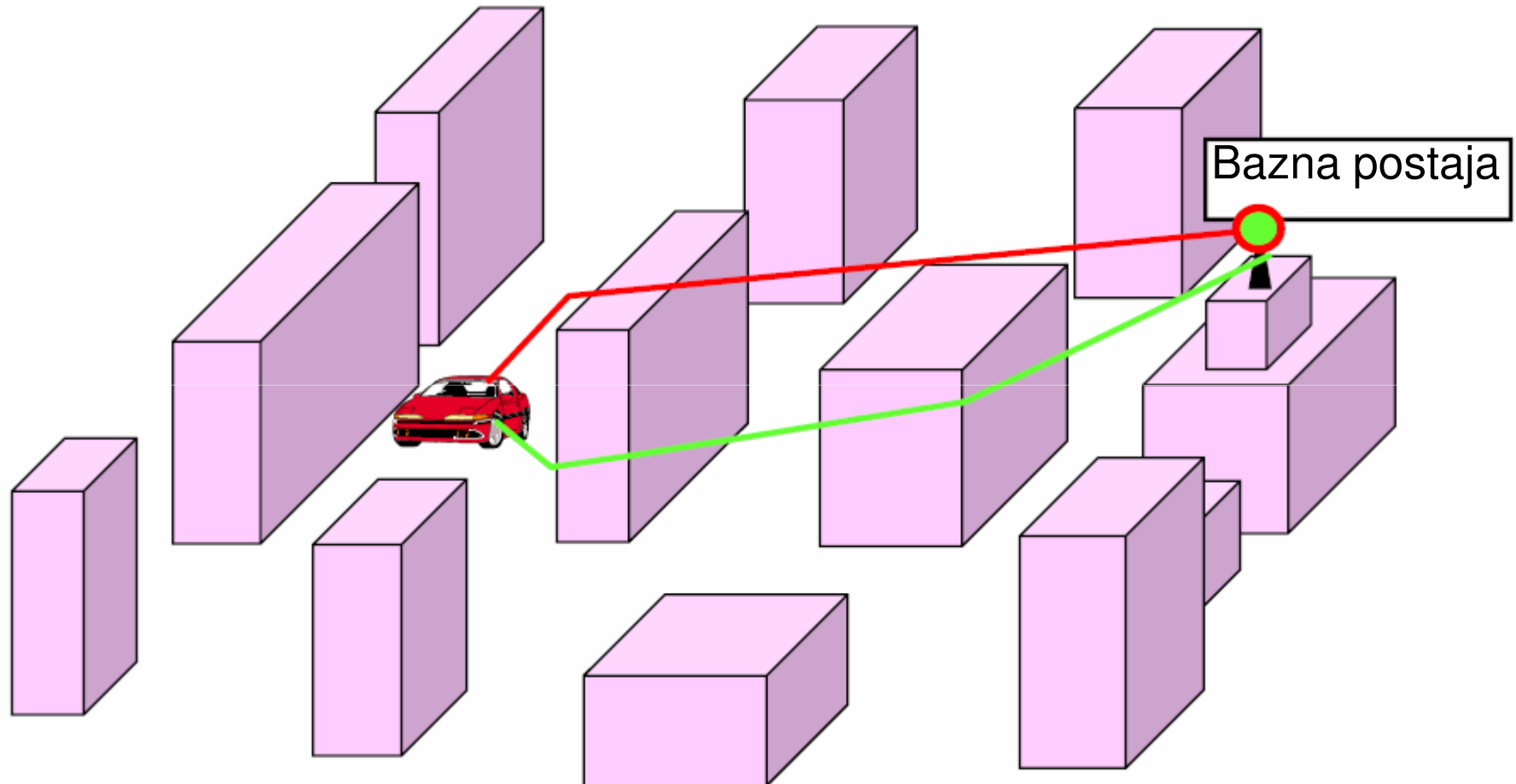
Definicija radarskega prereza objekta



$$\sigma = 4\pi r^2 \frac{\text{gostota moči razpršenega polja ob spr. anteni}}{r \rightarrow \infty \quad \text{vpadna gostota moči ob objektu}}$$

Objekt so lahko padavine, zrcalo, umetni satelit.
Sprejemna antena je lahko na lokaciji oddaljne antene.

Primer urbane zveze



LOS, NLOS

- LOS – Line Of Sight radio link

- NLOS – Non Line of Sight radio link

LOS – radijska vidljivost med oddajnim in sprejemnim mestom (relief urbanega področja ne sega v 1. Fresnelov elipsoid).

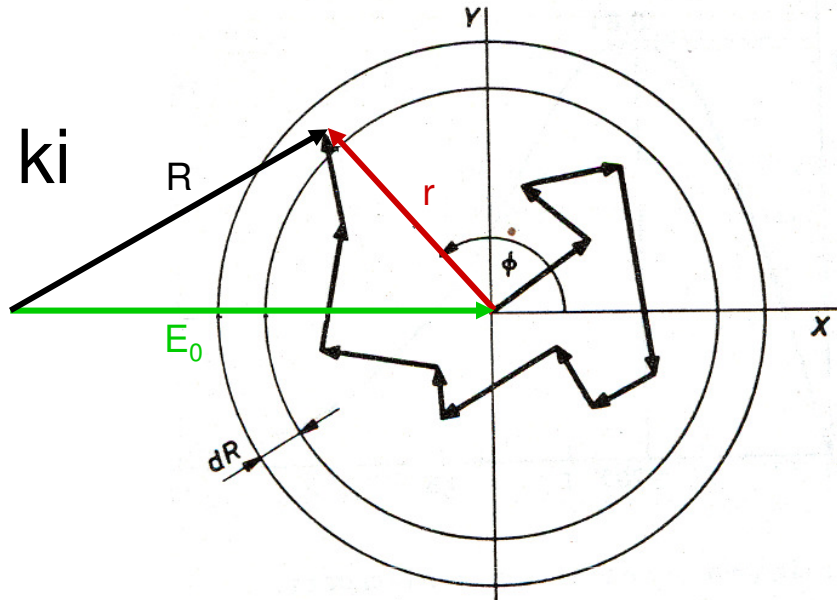
NLOS - radijska zakritost med oddajnim in sprejemnim mestom (relief urbanega področja sega v 1. Fresnelov elipsoid in zakriva zveznico med antenama).

NLOS

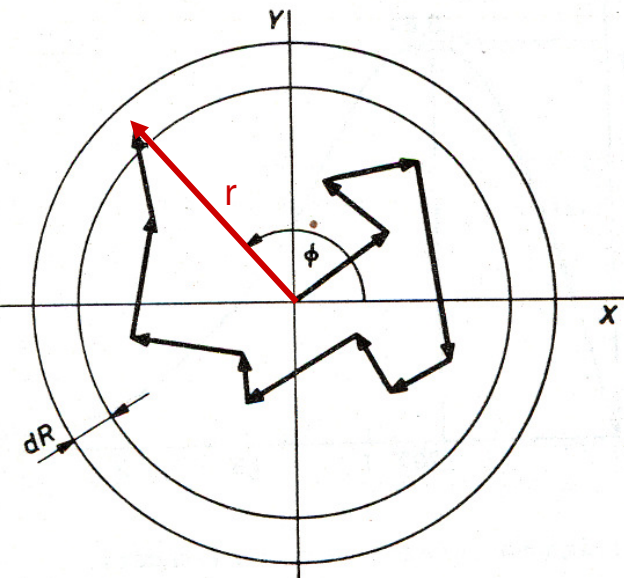
- Odbiti valovi od objektov prevladujejo nad direktnim valom.
- Selektivni presih (feding) zaradi širjenja po različnih poteh v širšem prostoru (izravnavanje moči kanalov po sistemu OFDM).
- Intersimbolna interferenca (ISI) zaradi odbojev v lokalnem prostoru (mnogonosilniški sistem OFDM in mnogoantenski sistem MIMO).

Statistika polja

- LOS:
- Prevladujoč direktni val, ki ga spremija množica amplitudno izenačenih odbitih valov: Riceova statistika.



- NLOS:
- Množica amplitudno izenačenih odbitih valov v odsotnosti prevladujočega vala:
Rayleighova statistika.



Modeli upadanja daljnega polja v odbojno-izgubnem okolju

1. Model upadanja polja in moči pri sprejemu v praznem prostoru (Friis)

$$E(r) = E(r_0) \left(\frac{r}{r_0} \right)$$

upadanje moči s kvadratom razdalje
 r_0 – referenčna razdalja (npr. 1m)

$$P_s(r) = P_s(r_0) \left(\frac{r_0}{r} \right)^2$$

2. Model upadanja moči pri širjenju v realnem prostoru

$$P_s(r) = P_s(r_0) \left(\frac{r_0}{r} \right)^n$$

$n < 2$ ugoden učinek valovodnega širjenja

$n = 2$ širjenje v praznem prostoru

$n > 2$ neugoden učinek na širjenje v realnem prostoru

$$P_{sdB}(r) = P_{sdB} + 10n \log \left(\frac{r}{r_0} \right)$$

3. Model upadanja moči z upoštevanjem prostorske fluktuacije (median in naključni del moči)

$$P_{sdB}(r) = P_{sdB} + 10n \log \left(\frac{r}{r_0} \right) \pm x_\sigma$$

x_σ Gaussov (normalni) naključni prispevek pri standardni deviaciji σ

Prostorska variabilnost je posledica večstevne interference v refleksnem okolju. Referenčna razdalja r_0 je poljubna, ponavadi izbiramo $r_0 = 1$ meter za notranji prostor ali $r_0 = 0,1$ do 1 km za zunanji prostor.

Potenca upadanja polja za različna okolja

5 GHz

Overall	2.8-2.9	
Urban environment	LOS	1.4
	NLOS	2.8
Suburban environment	LOS	2.5
	NLOS	3.4
Rural environment	LOS	3.3
	NLOS	5.9

Potenca upadanja polja za različna okolja

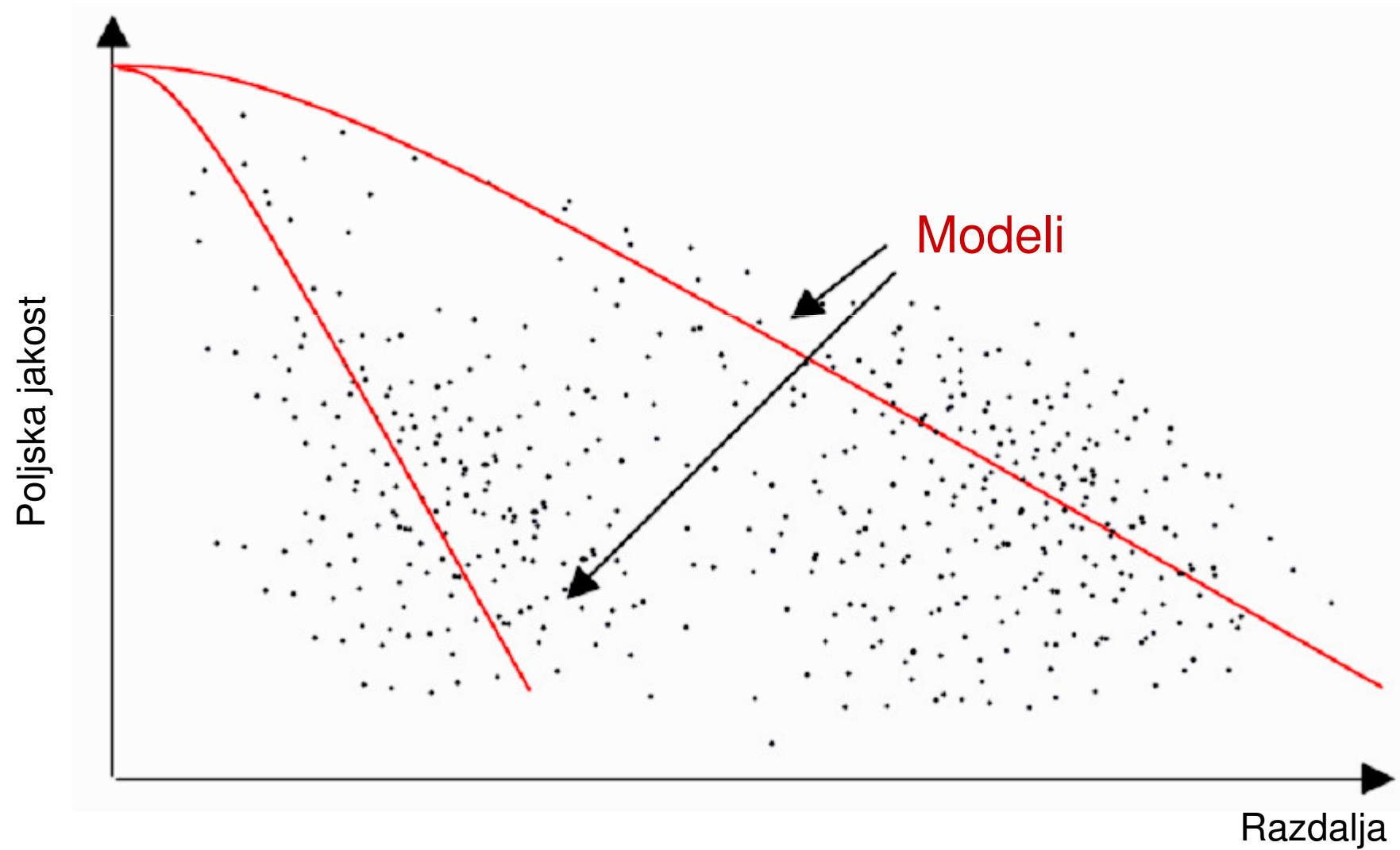
Environment	Path loss exponent, n
Free space	2
Urban area	2.7 to 3.5
Shadowed urban	3 to 5
In building LOS	1.6 to 1.8
Obstructed in building	4 to 6
Obstructed in factories	2 to 3

Potenca upadanja polja za različna okolja

Environment	Exponent β
Free Space	2
Urban area	2.7-3.5
Shadowed urban area	3-5
Indoor LOS	1.6-1.8
Indoor no LOS	4-6

Rappaport, Table 3.2, pp. 104

Umerjanje potence upadanja za različne modele



Model dveh strmin upadanja polja

V začetnem delu ($r < R$) in končnem delu ($r > R$) so pogoji širjenja lahko različni in jih karakteriziramo z različnima potencama upadanja n_1 in n_2 . R je "lomna" razdalja. Model se uporablja v urbanem in notranjem okolju.

$$P_{s_{dB}} = P_{s_{dB}}(r) = 10n_1 \log\left(\frac{r}{r_0}\right), \quad r \leq R$$

$$P_{s_{dB}} = P_{s_{dB}}(r) = 10n_1 \log r_0 + 10n_2 \log\left(\frac{r}{r_0}\right), \quad r > R$$

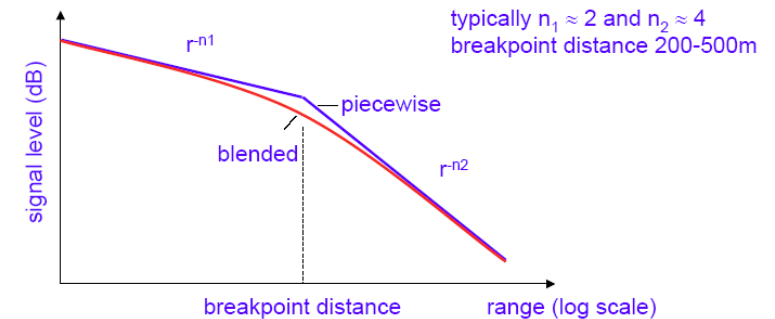
Če so v prvem delu izpolnjeni pogoji za širjenje v praznem prostoru ($n_1 = 2$), je

$$P_{s_{dB}} = P_{s_{dB}}(r) = 20 \log r_0 + 10n_2 \log\left(\frac{r}{r_0}\right)$$

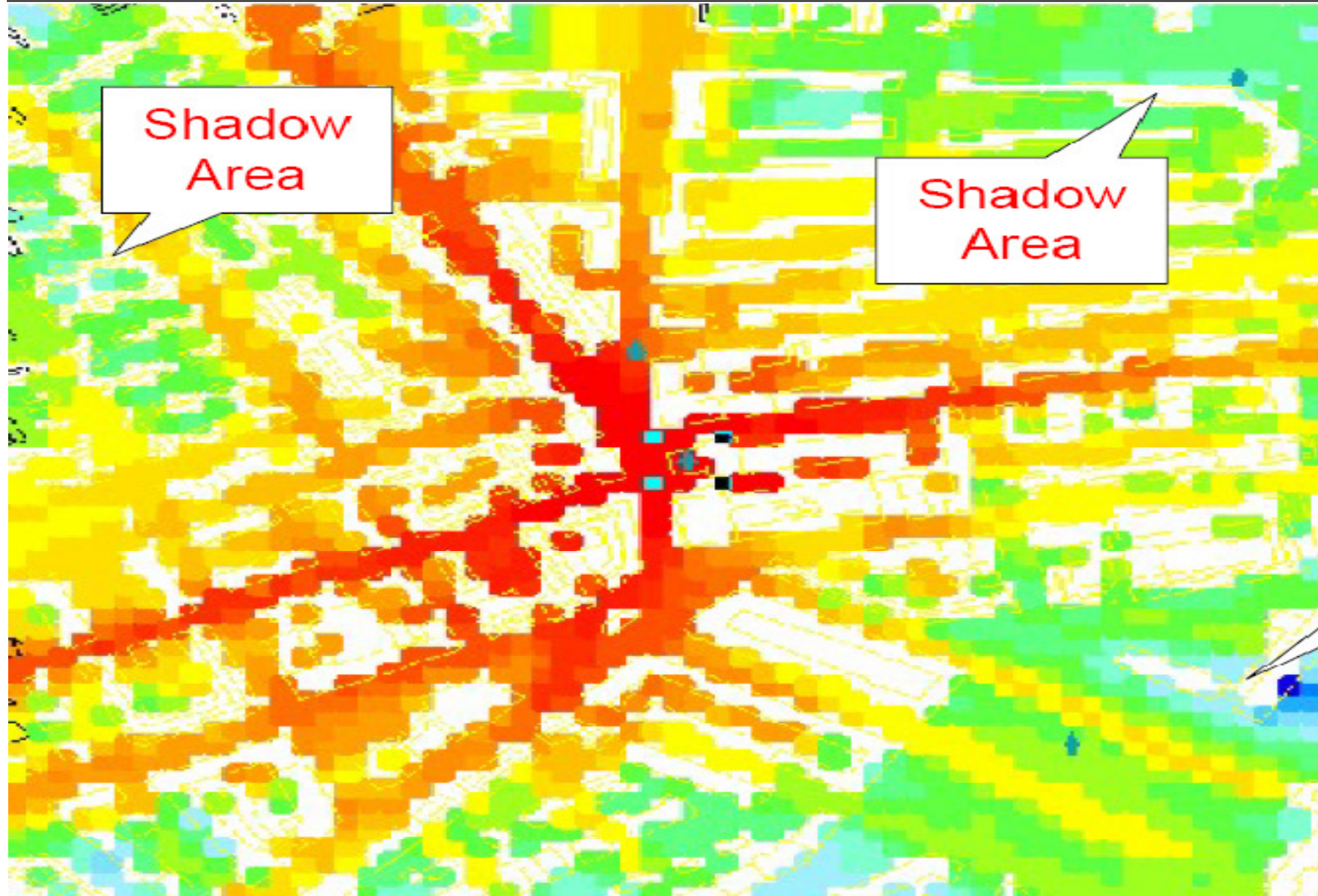
Slabljenje $10\log(P_2/P_1)$ izražamo pri $r > R$ v lomljeni ali zglajeni obliki:

$$L_{dB} = 20 \log\left(\frac{4\pi}{\lambda}\right) + 20 \log R + 10n_2 \log\left(\frac{r}{R}\right)$$

$$L_{dB} = 20 \log\left(\frac{4\pi}{\lambda}\right) + 20 \log R + 10(n_2 - 2) \log\left(1 + \frac{r}{R}\right)$$

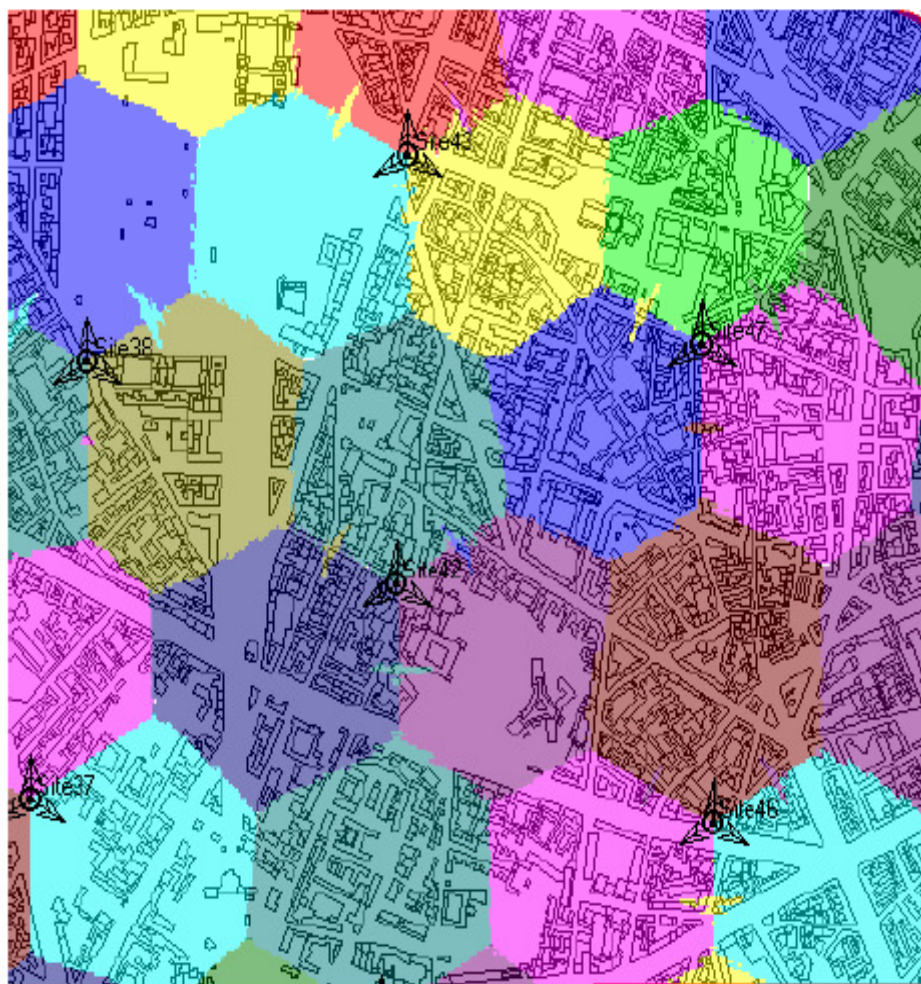


Učinek ulic na pokritost urbanega področja

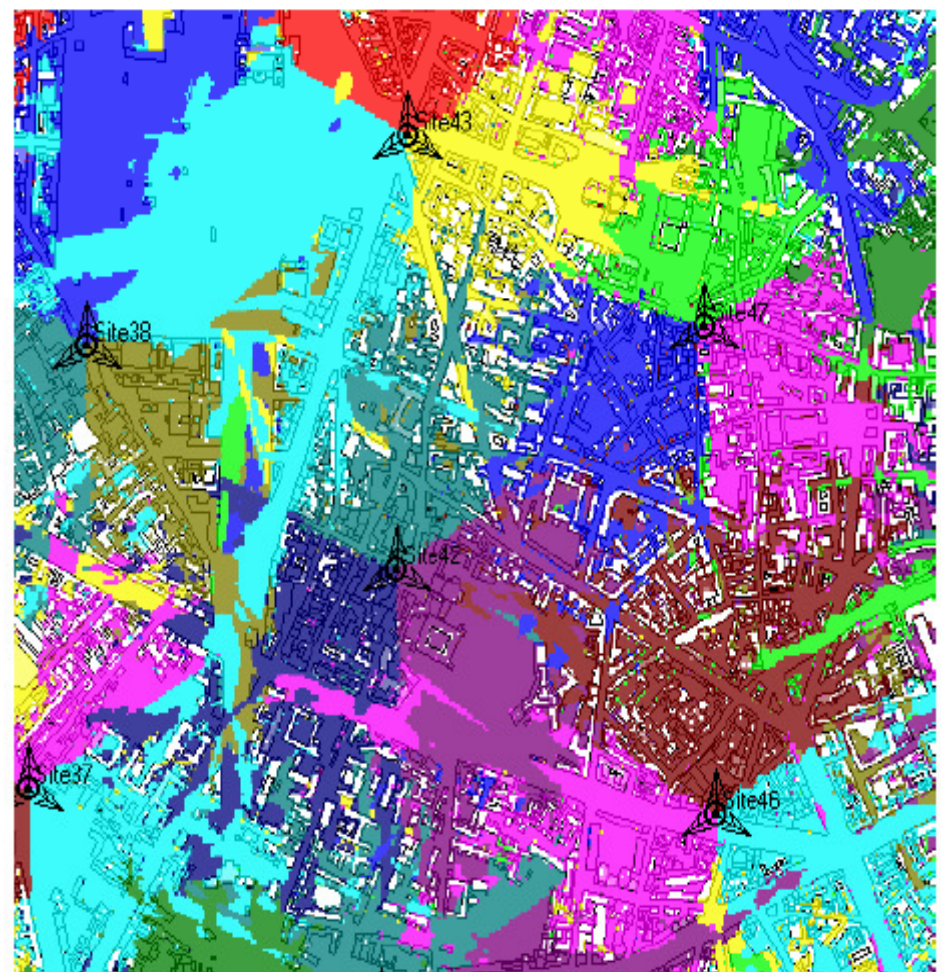


Načrt in resničnost

Načrtovana pokritost celic

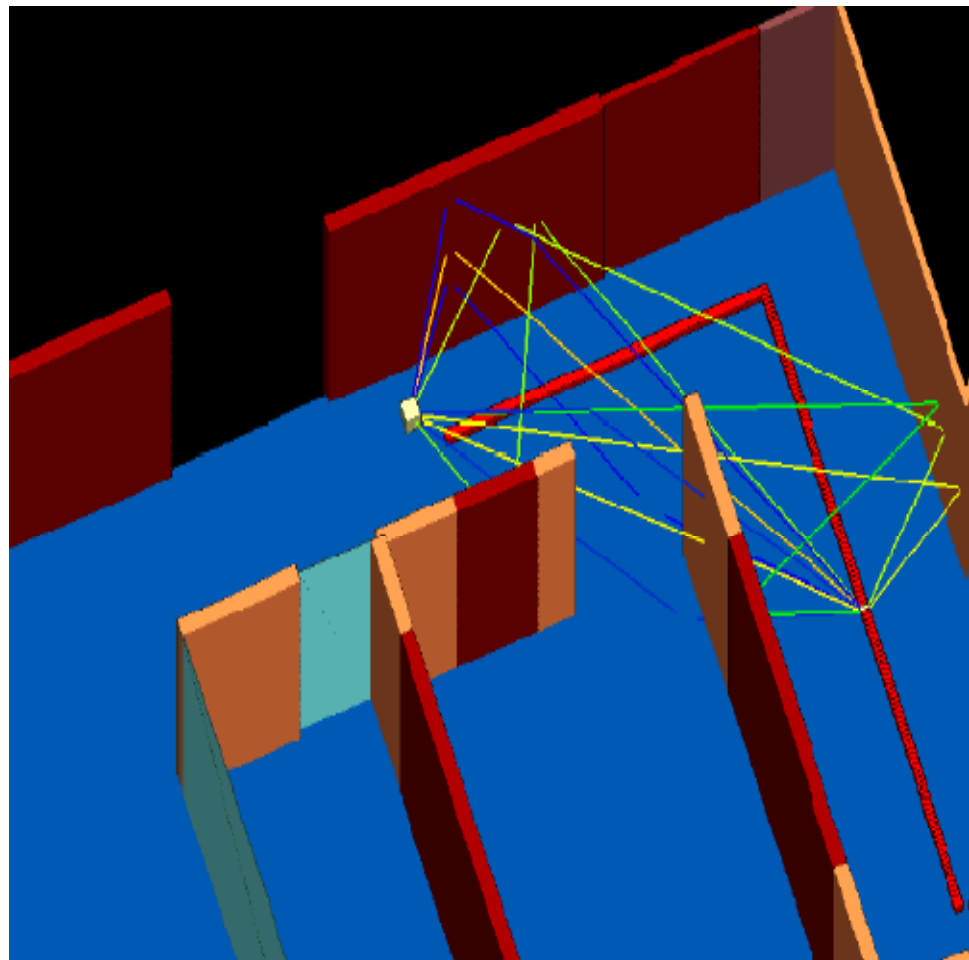


Dejanska pokritost celic,
učinek uličnih koridorjev

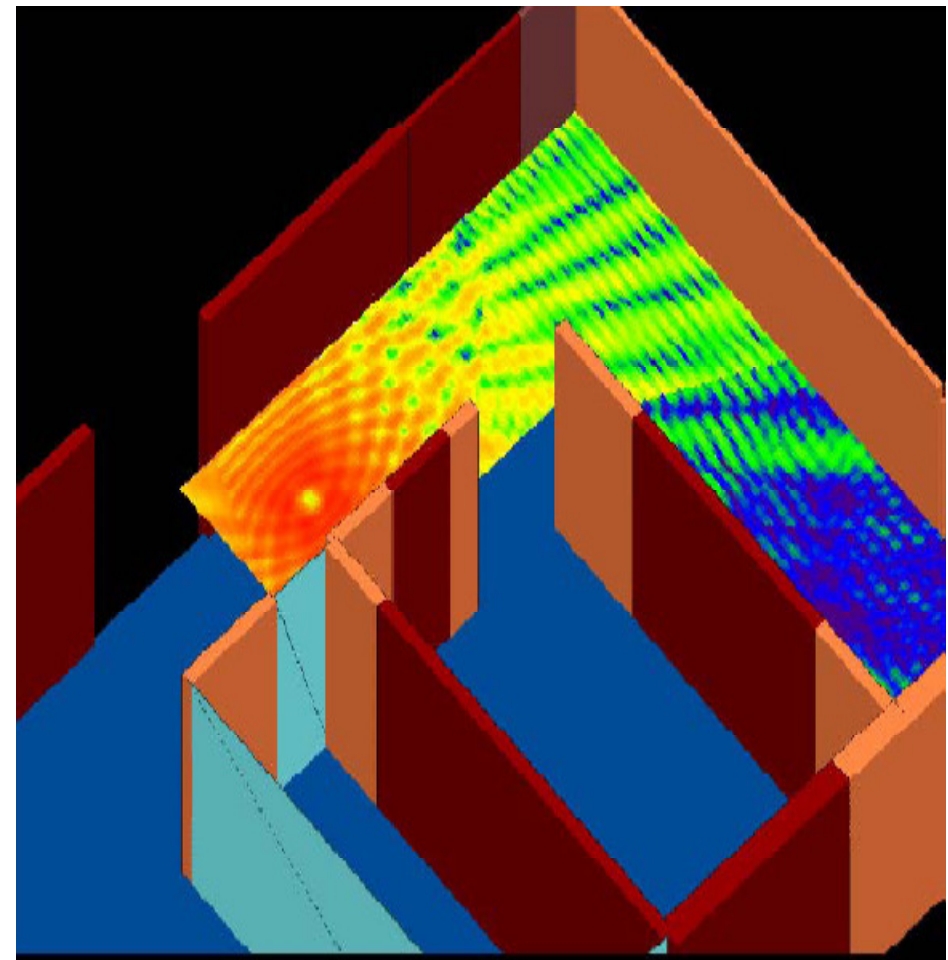


Polje v notranjih prostorih

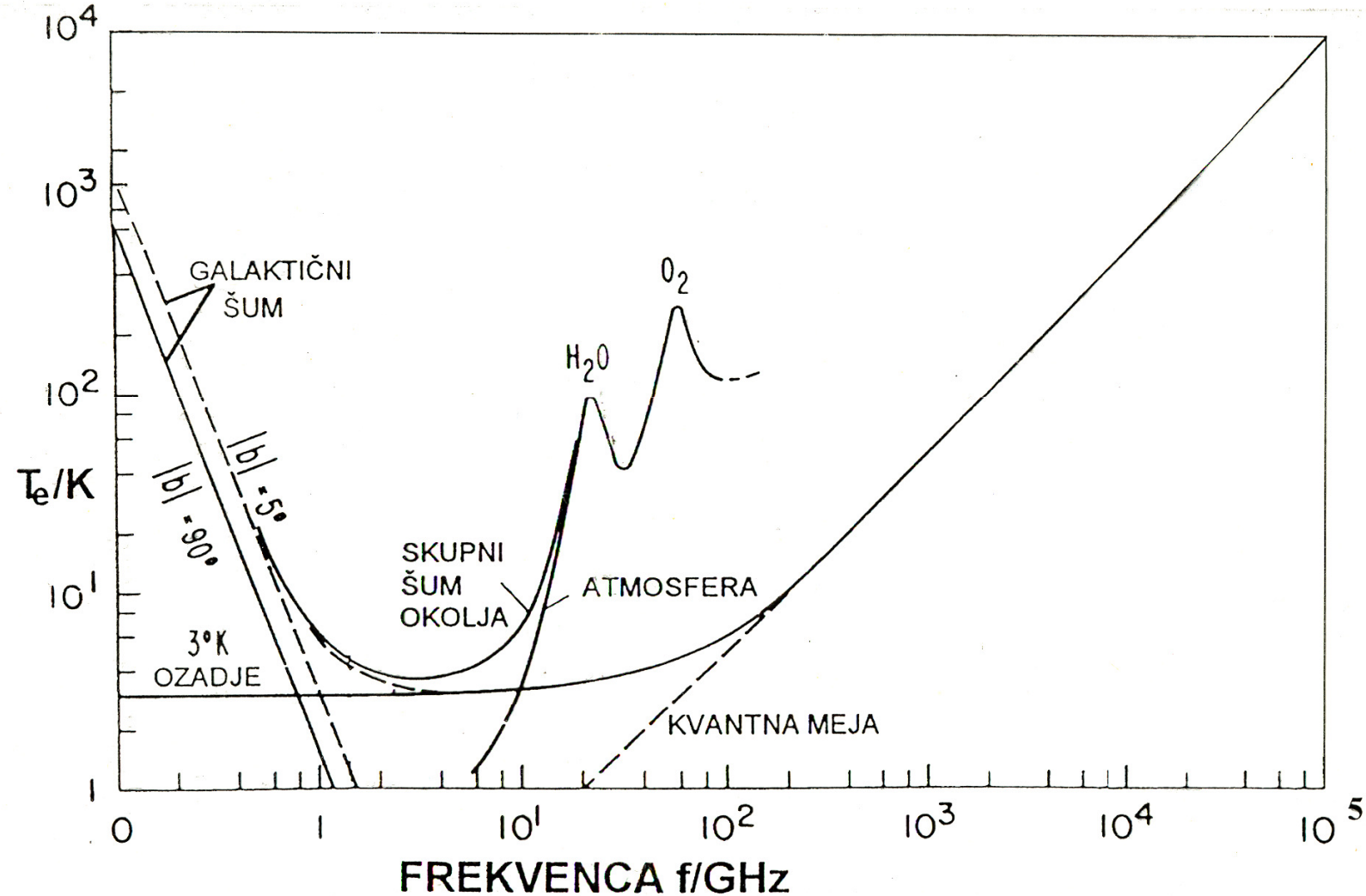
Žarkovni model



Prikazovanje polja



Šumi v radijskem in optičnem spektru



Lastnost šumov: nekoherentnost, nepolariziranost, širok Δf